



Gorgan University of Agricultural
Sciences and Natural Resources

(OPEN ACCESS)

**Biomass estimation of wheat fields using remote sensing plant indices
in Bandar-e-Turkmen county**

**Maral Niazmoradi¹, Hossein Kazemi^{*2}, Javid Gherekhloo³,
Afshin Soltani⁴, Behnam Kamkar⁵**

1. Ph.D. Graduate of Agronomy, Dept. of Agronomy, Faculty of Plant Production, Gorgan University of Agricultural Sciences and Natural Resources, Gorgan, Iran. E-mail: niazmoradimaral@gmail.com
2. Corresponding Author, Professor, Dept. of Horticulture, Faculty of Plant Production, Gorgan University of Agricultural Sciences and Natural Resources, Gorgan, Iran. E-mail: hkazemi@gau.ac.ir
3. Professor, Dept. of Agronomy, Faculty of Plant Production, Gorgan University of Agricultural Sciences and Natural Resources, Gorgan, Iran. E-mail: gherekhloo@gau.ac.ir
4. Professor, Dept. of Agronomy, Faculty of Plant Production, Gorgan University of Agricultural Sciences and Natural Resources, Gorgan, Iran. E-mail: afshin.soltani@gmail.com
5. Professor, Dept. of Agrotechnology, Faculty of Agriculture, Ferdowsi University of Mashhad, Mashhad, Iran. E-mail: kamkar@um.ac.ir

Article Info	ABSTRACT
Article type: Full Length Research Paper	Background and Objectives: Estimating the area under cultivation and crop yield at the global level is one of the most vital issues for policymakers and decision-makers to assess the annual productivity of agricultural products and food supply. Nowadays, remote sensing (RS) satellite and geographic information system (GIS) can estimate and continuously monitor these production parameters in large geographical areas and thus also examine the health of fields. The aim of this study is to estimate the amount of wheat biomass using remote sensing and the efficiency of plant indices in estimating the amount of plant biomass in non-destructive sampling methods.
Article history: Received: 09.21.2023 Revised: 10.21.2023 Accepted: 12.02.2023	
Keywords: Biomass, Plant indices, Sentinel 2, Wheat	Materials and Methods: In order to estimate the biomass of wheat fields using remote sensing plant indices, 59 wheat fields covering an area of 292 hectares were randomly and uniformly selected in the agricultural lands of Bandar-e-Turkmen county in the 2019-2020 agronomy year. Plant samples were collected on April 25, 2019, coinciding with the peak growth stage of wheat, using 0.25 square meter quadrats from the fields and their dry weight was measured. In this study, Sentinel-2 satellite images from the nearest date to the sampling date, which was April 31, were used to calculate the NDVI, SAVI, DVI, and RVI plant indices. Furthermore, the regression relationship between the measured biomass values and the index values was examined and analyzed using SPSS software and statistical parameters such as coefficient of determination (R^2), coefficient of variation (CV%), correlation coefficient (r), and root mean square error (RMSE).
	Results: Based on the comparison of the examined plant indices, the RVI index was recognized as the superior plant index. This index had the highest coefficient of determination (0.885) and correlation coefficient (0.941), as well as the lowest values of RMSE (21.32) and coefficient of

variation (1.5) compared to other indices. Therefore, the RVI index was used to establish a regression relationship with the measured wheat biomass. Establishing a regression relationship between measured biomass and estimated biomass indicates the high efficiency of the satellite imagery used and the remote sensing indices in estimating plant biomass. The RVI map in the studied agricultural lands showed the lowest value of this index (0.44) in the western and northwestern parts of the county. Higher soil salinity and a higher level of stagnant water in these areas could be the reasons for less vegetation cover and consequently lower values of the RVI index in these points. This map displayed higher values of this index in the central, eastern, and southeastern parts of the county. The high values of this index indicate dense vegetation cover in these areas, which can be attributed to higher carbon and organic matter content in the soil, sufficient and well-distributed rainfall, proper farm management, lower soil salinity, adequate soil nutrition, and other factors.

Conclusion: In general, the higher values of the RVI plant index and consequently the higher production of biomass can indicate the desirable health and growth status of wheat in the fields of Bandar-e-Turkmen county. The results of this study can be used in precision agriculture planning and optimal agricultural management, such as predicting plant growth stages, estimating the area under cultivation, estimating yield and yield gap, and assessing the health status of agricultural plants.

Cite this article: Niazmoradi, Maral, Kazemi, Hossein, Gherekhloo, Javid, Soltani, Afshin, Kamkar, Behnam. 2025. Biomass estimation of wheat fields using remote sensing plant indices in Bandar-e-Turkmen county. *Journal of Plant Production Research*, 32 (1), 1-16.



© The Author(s).

DOI: 10.22069/jopp.2024.21762.3072

Publisher: Gorgan University of Agricultural Sciences and Natural Resources

برآورد زیست‌توده مزارع گندم با استفاده از شاخص‌های گیاهی دورسنجی در شهرستان بندرترکمن

مارال نیازمرادی^۱، حسین کاظمی^{*}^۲، جاوید قرخلو^۳، افшин سلطانی^۴، بهنام کامکار^۵

۱. دانش آموخته دکتری زراعت، گروه زراعت، دانشکده تولید گیاهی، دانشگاه علوم کشاورزی و منابع طبیعی گرگان، گرگان، ایران.

رایانame: niazmoradimaral@gmail.com

۲. نویسنده مسئول، استاد گروه علوم باغبانی، دانشکده تولید گیاهی، دانشگاه علوم کشاورزی و منابع طبیعی گرگان، گرگان، ایران.

رایانame: hkazemi@gau.ac.ir

۳. استاد گروه زراعت، دانشکده تولید گیاهی، دانشگاه علوم کشاورزی و منابع طبیعی گرگان، گرگان، ایران.

رایانame: gherekhloo@gau.ac.ir

۴. استاد گروه زراعت، دانشکده تولید گیاهی، دانشگاه علوم کشاورزی و منابع طبیعی گرگان، گرگان، ایران.

رایانame: afshin.soltani@gmail.com

۵. استاد گروه اکرو-تکنولوژی، دانشکده کشاورزی، دانشگاه فردوسی مشهد، مشهد، ایران. رایانame: kamkar@um.ac.ir

اطلاعات مقاله	چکیده
نوع مقاله: مقاله کامل علمی- پژوهشی	سابقه و هدف: برآورد سطح زیر کشت و عملکرد محصول در سطح جهانی، یکی از حیاتی‌ترین مسائلی است که سیاست‌گذاران و تصمیم‌گیرندگان برای ارزیابی بهره‌وری سالانه محصولات کشاورزی و عرضه مواد غذایی به آن نیاز دارند. امروزه سنجش‌ازدor (RS) ماهواره‌ای و سامانه اطلاعات جغرافیایی (GIS) می‌تواند تخمین و پایش مستمر این شاخص‌های تولید محصول را در مناطق جغرافیایی بزرگ امکان‌پذیر کند و از این طریق سلامت مزارع را نیز مورد بررسی قرار دهد. هدف از این مطالعه تخمین میزان زیست‌توده گیاهی گندم با استفاده از روش سنجش‌ازدor و کارآیی شاخص‌های گیاهی در برآورد میزان زیست‌توده گیاهی در روش نمونه‌برداری غیر تخریبی می‌باشد.

واژه‌های کلیدی:
زیست‌توده،
ستینل، ۲،
شاخص‌های گیاهی،
گندم
مواد و روش‌ها: بهمنظور برآورد زیست‌توده مزارع گندم با استفاده از شاخص‌های گیاهی دورسنجی، تعداد ۵۹ مزرعه گندم در سطح ۲۹۲ هکتار در سال زراعی ۱۳۹۹-۱۳۹۸ با پراکنش تصادفی و یکنواخت در سطح اراضی کشاورزی شهرستان بندرترکمن انتخاب شدند. نمونه‌های گیاهی در تاریخ ۲۵ فروردین ماه ۱۳۹۹ مصادف با اوج مرحله رشد رویشی گندم با استفاده از کوادرات ۰/۲۵ مترمربعی به صورت کفیر از مزارع جمع‌آوری شده و وزن خشک آن‌ها توزین گردید. در این پژوهش تصاویر ماهواره‌ای ستینل-۲ مربوط به نزدیک‌ترین زمان نمونه‌برداری

برابر با ۳۱ فروردین ماه جهت محاسبه شاخص‌های گیاهی RVI، NDVI، SAVI و DVI مورداستفاده قرار گرفت. در ادامه ارتباط رگرسیونی بین مقادیر زیست‌توده اندازه‌گیری شده و مقادیر شاخص‌های با استفاده از نرم‌افزار SPSS و آماره‌های ضریب تبیین (R^2)، ضریب تغییرات (CV%)، ضریب همبستگی (r) و مجدول میانگین مربعات خطأ (RMSE) بررسی و تحلیل گردید.

یافته‌ها: بر اساس نتایج مقایسه شاخص‌های گیاهی موردنرسی، شاخص RVI به عنوان شاخص گیاهی برتر شناخته شد. این شاخص دارای بالاترین میزان ضریب تبیین (۰/۸۵) و ضریب همبستگی (۰/۹۴۱) و کمترین مقادیر RMSE (۳۲/۲۱) و ضریب تغییرات (۵/۱) نسبت به سایر شاخص‌های دیگر بود؛ بنابراین از شاخص RVI جهت برقراری رابطه رگرسیونی با میزان زیست‌توده اندازه‌گیری شده گندم استفاده شد. برقراری ارتباط رگرسیونی بین زیست‌توده اندازه‌گیری و زیست‌توده تخمین زده شده، نشان‌دهنده کارایی بالای تصاویر ماهواره‌ای مورداستفاده و شاخص‌های دورسنجی در برآورد زیست‌توده گیاهی می‌باشد. نقشه RVI در اراضی کشاورزی موردمطالعه، کمترین میزان این شاخص را در غرب و شمال‌غربی شهرستان برابر با ۰/۴۴ نشان داد. شوری زیاد خاک و بالا بودن سطح ایستابی آب در این مناطق می‌تواند دلیلی بر پوشش گیاهی کمتر در این اراضی و در نتیجه مقدار پایین شاخص RVI در این نقاط باشد. این نقشه مقادیر بالاتر این شاخص را در مناطق مرکزی، شرق و جنوب شرقی شهرستان نشان داد. مقادیر بالای این شاخص گویای پوشش گیاهی متراکم در این مناطق می‌باشد که می‌توان ناشی از مقادیر بالای درصد کردن و ماده آلی خاک، وفور و توزیع مناسب بارش، مدیریت مطلوب مزرعه، شوری پایین تر خاک، تغذیه مناسب خاک و سایر عوامل دیگر برشمرد.

نتیجه‌گیری: درمجموع می‌توان نتیجه گرفت که میزان شاخص گیاهی RVI بالاتر و پیرو آن تولید زیست‌توده بیشتر می‌تواند نشان‌دهنده وضعیت مطلوب سلامت و رشد محصول گندم در مزارع شهرستان بندر ترکمن باشد. از نتایج این پژوهش می‌توان در برنامه‌ریزی کشاورزی دقیق و مدیریت بهینه مزارع مانند پیش‌بینی مراحل رشدی گیاهان، برآورد سطح زیرکشت محصولات، تخمین عملکرد و وضعیت سلامت گیاهان زراعی، دستیابی عملکرد واقعی و کاهش خلاء عملکرد استفاده کرد.

استناد: نیازمدادی، مارال، کاظمی، حسین، قرخلو، جاوید، سلطانی، افшин، کامکار، بهنام (۱۴۰۴). برآورد زیست‌توده مزارع گندم با استفاده از شاخص‌های گیاهی دورسنجی در شهرستان بندر ترکمن. نشریه پژوهش‌های تولید گیاهی، ۳۲(۱)، ۱-۱۶.

DOI: 10.22069/jopp.2024.21762.3072



© نویسنده‌گان.

ناشر: دانشگاه علوم کشاورزی و منابع طبیعی گرگان

مقدمه

پوشش گیاهی متراکم و زیاد، شاخص‌های ساده گیاهی مانند NDVI^۱ برای ارزیابی پوشش گیاهی مناسبند (۱۶). در مطالعه ارزیابی مدلی جهت تخمین عملکرد محصول گندم با کمک داده‌های NDVI حاصل از تصاویر MODIS^۲، ارتباط بین شاخص NDVI و میزان تولید زیست‌توده محاسبه شد (۱۷). مقایسه روش زمین‌آمار و استفاده از داده‌های سنجش از دور به‌منظور پیش‌بینی عملکرد گندم در برخی از مراحل رشد در استان گلستان نشان داد که با توجه به‌دقت مناسب فناوری سنجش از دور نسبت به روش زمین‌آمار و علاوه بر آن آسان و کم‌هزینه بودن، این روش می‌تواند تحول جدیدی در برآورد عملکرد در مقیاس منطقه‌ای به وجود آورد (۱۸). هم‌چنین به‌منظور بررسی تغییرات پوشش گیاهی نخلستانی با خاک شور در عربستان سعودی، ۱۳ شاخص مورد مطالعه قرار گرفتند. نتایج این پژوهش نشان داد که از بین شاخص‌های مطالعه شده، سه شاخص SAVI^۳، شاخص پوشش برف (NDSI)^۴ و شاخص شوری (SI-T)^۵ نتایج بهتری نشان داده و برای این منطقه مناسب‌تر بوده‌اند (۱۹). بخشنده لاریمی و همکاران (۲۰۲۲) در برآورد پتانسیل انباشت کربن در مزارع سویا با استفاده از شاخص‌های گیاهی سنجش از دور در شهرستان گرگان، از شاخص‌های DVI^۶، NDVI^۷، RVI^۸ و SAVI^۹ استفاده کرده و دریافتند که شاخص DVI توانست برآورد بهتری از پتانسیل کربن در مزارع سویا نشان داد (۲۰). در تخمین عملکرد گندم دوروم با استفاده از تصاویر ستینل-۲ و لندست ۸ در حومه فوجیا (جنوب ایتالیا)

پوشش گیاهی به عنوان یکی از مهم‌ترین اجزای هر بوم‌سازگان به شمار می‌رود. تعیین زیست‌توده هر گیاه به‌منظور ارتباط آن با اقلیم، فرسایش خاک، سلامت، عملکرد و مدیریت منابع طبیعی بسیار ضروری است. روش‌های اندازه‌گیری مستقیم زیست‌توده علی‌رغم دقیق بودن، معمولاً با تخریب بخشی از پوشش گیاهی همراه می‌باشد که این عمل با توجه به تعداد موردنیاز برای مدل‌سازی ماهواره‌ای، علاوه بر ضرر رساندن به محصول، نیازمند تجهیزات خاص می‌باشد. از این رو استفاده از فناوری سنجش از دور به‌منظور ایجاد اطلاعات مناسب از مناطق وسیع و مشاهدات تکراری با صرف وقت و هزینه کمتر، امری ضروری می‌باشد (۱، ۲، ۳، ۴، ۵). توسعه دانش فناوری اطلاعات و علوم رایانه در سال‌های اخیر، همراه با دسترس بودن داده‌های سنجش از دور با وضوح بالا، منجر به توسعه روش‌های برآورد داده‌های زمینی باقدرت تفکیک مکانی، دقیق و سرعت مناسب در پیش‌بینی ویژگی‌های پوشش گیاهی شده است (۶، ۷، ۸). از کاربرد شاخص‌های گیاهی برای اهداف مختلف چند دهه می‌گذرد و هنوز هم در سطح وسیعی استفاده می‌شود (۹). بیش‌تر این شاخص‌ها برای ارزیابی یک یا چند متغیر خاص و بر مبنای ویژگی‌ها و رفتار طیفی پدیده‌ها توسعه داده می‌شوند. بسیاری از این شاخص‌ها بر مبنای بازتاب در محدوده طول‌موج‌های قرمز و مادون‌قرمز نزدیک قرار داشته و ترکیب جبری از این دو باند هستند (۱۰، ۱۱، ۱۲، ۱۳، ۱۴، ۱۵).

گیاهان در مراحل مختلف فنولوژیکی به‌دلیل تغییر در میزان آب بافت‌ها و کلروفیل، بازتاب‌های متفاوتی از خود نشان می‌دهند؛ بنابراین بهترین زمان برای اندازه‌گیری پوشش گیاهی، زمانی است که گیاهان به حداقل میزان رشدشان رسیده باشند. در همین راستا نتایج به‌دست‌آمده نشان می‌دهد که در مناطقی با

- 1- Normalized difference vegetation index
- 2- Moderate Resolution Imaging Spectroradiometer
- 3- Soil Adjusted Vegetation Index
- 4- Normalized Difference Snow Index
- 5- Salinity Index
- 6- Deference Vegetation Index
- 7- Ratio Vegetation Index

محیطی ترکیب می‌شوند، بهبود بیشتری در دقت نتایج حاصل می‌شود. به کارگیری داده‌های حاصل از ماهواره طیفی از عملکرد محصول در سراسر چشم‌انداز از ۴/۰۹ تا ۱۲/۲۲ تن در هکتار را پیش‌بینی کرده و تولید کل محصول در این منطقه را ۲۸۹۰۰۰ تن تخمین زد (۲۵).

زیست‌توده یکی از مفیدترین شاخص‌های رشد و سلامت محصولات زراعی است که با عملکرد و کیفیت دانه و تولید ناخالص اولیه مرتبط می‌باشد؛ بنابراین برآورد صحیح زیست‌توده اندام هوایی گیاه برای نظارت دقیق رشد و سلامت محصول و بهبود کارایی مدیریت زراعی و پیش‌بینی عملکرد محصول با استفاده از روش سنجش‌از دور ضروری است. استفاده از تصاویر ماهواره‌ای و شاخص‌های گیاهی در برآورد زیست‌توده گیاهی به عنوان روش نمونه‌برداری غیرتخریبی، می‌تواند کمک زیادی به پژوهش‌گران در زمینه صرفه‌جویی در وقت، هزینه و انرژی نماید. بدین‌منظور مطالعه حاضر جهت تخمین زیست‌توده اندام هوایی گندم به عنوان شاخصی از سلامت گیاهی با استفاده از شاخص‌های گیاهی سنجش‌از دور در اراضی کشاورزی شهرستان بندرترکمن انجام شد.

مواد و روش‌ها

منطقه مورد مطالعه: شهرستان بندرترکمن به عنوان یکی از شهرستان‌های شمالی استان گلستان، با وسعتی برابر ۸۵۴/۱۸ کیلومترمربع، در مختصات جغرافیایی بین ۵۳ درجه و ۵۴ دقیقه تا ۵۶ درجه و ۲۸ دقیقه طول شرقی و ۳۶ درجه و ۴۹ دقیقه تا ۳۷ درجه و ۲۴ دقیقه عرض شمالی و در ارتفاع ۲۰-۲۰ سطح دریا واقع شده است. این شهرستان از شمال به شهرستان گمیشان، از غرب به دریای خزر، از شرق به شهرستان آق‌قلو و از جنوب به شهرستان‌های کردکوی و گرگان متنه می‌شود. از مجموع ۲۴۰۰۰ هکتار سطح زیر کشت

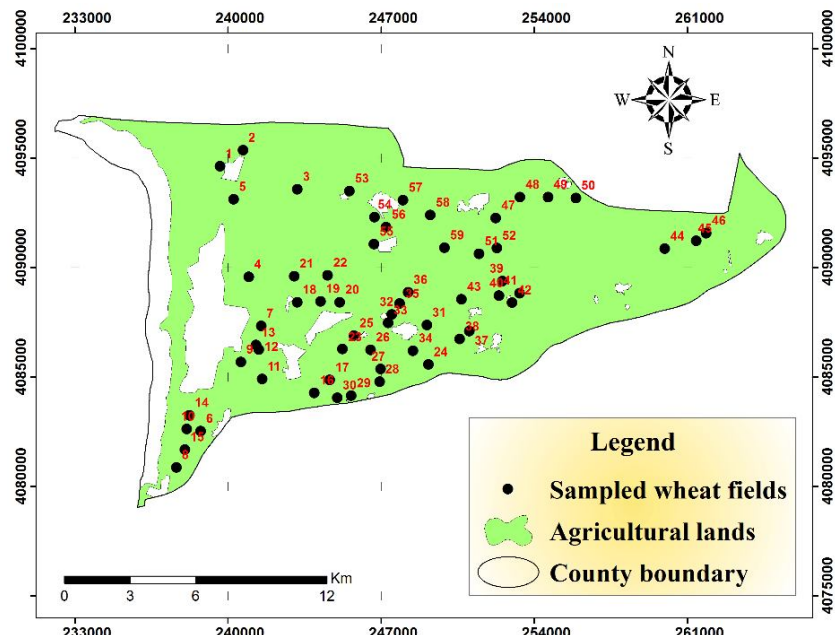
در فصول زراعی ۲۰۱۳-۲۰۱۷، مقایسه شاخص گیاهی NDVI با داده‌های پایش عملکرد میدانی، رابطه خطی قوی و بسیار مثبت (ضریب همبستگی از ۰/۵۴ تا ۰/۷۴) را نشان داد که بیشترین تنوع درون مزرعه‌ای را برای همه تصاویر بین ماه‌های مارس و آوریل توضیح می‌دهد (۲۱).

زیست‌توده بالای سطح خاک، یک معیار زیستی- فیزیکی کلیدی برای نظارت بر وضعیت رشد، شرایط سلامتی و هم‌چنین پیش‌بینی عملکرد محصول است. اطلاعات مکانی پیوسته زیست‌توده گیاهی نقش بر جسته‌ای در مدیریت تغذیه کودی، کنترل بیماری‌ها، پیش‌بینی عملکرد و انتشار گازهای گلخانه‌ای ایفا می‌کند (۲۲). امروزه پژوهش‌ها در زمینه استفاده از روش سنجش‌از دور جهت بررسی سلامت پوشش گیاهی در حال پیشرفت می‌باشد. از جمله، در موضوع ارزیابی وضعیت امنیت غذایی آفریقا از سنجش‌از دور برای تعیین سلامت محصول، تعیین پتانسیل‌ها و محدودیت‌ها و تخمین آلودگی آفات و بیماری‌ها استفاده شده است (۲۳). بائو و همکاران (۲۰۲۲) ویژگی‌های زمانی و مکانی (پوشش گیاهی) سلامت بوم‌سازگان منطقه فوژو در چین را با استفاده از مدل (VOR)^۱ و سنجش‌از دور مورد ارزیابی و تجزیه و تحلیل قرار داده و نشان دادند که ارزش سلامت بوم‌سازگان در این منطقه به ترتیب با مقدار (۰/۳۳۴۵ و ۰/۳۵۲۱)، (۰/۳۴۴۵ و ۰/۳۵۲۱) (۲۰۲۱، ۱۹۹۶) به تدریج کاهش یافت. استفاده از سنجش‌از دور بر پایه روش مورد استفاده در این پژوهش، یک چارچوب جامع برای حل مشکلات اندازه‌گیری فرایند تکامل پویا و ویژگی‌های سلامت بوم‌سازگان را فراهم نمود (۲۴). نقشه‌برداری عملکرد گندم با وضوح بالا با استفاده از ماهواره ستینل ۲ در مزارع گندم بریتانیا نشان داد هنگامی که تصاویر ماهواره‌ای با داده‌های

سانتی‌گراد در خردادماه ۱۳۹۹ گزارش شده است. آماده‌سازی زمین زراعی و کشت گندم در این شهرستان از اواسط مهرماه تا اواسط آذرماه صورت گرفت. هم‌چنین مرحله اوج سبزینگی گندم ۲۰ تا ۳۰ فروردین‌ماه و در اواخر خردادماه تا اواسط تیرماه نیز برداشت محصول انجام شد. ارقام مورد کشت در این مزارع شامل قابوس، مروارید، لاینهای N91-17 و N87-20 بودند. جهت اندازه‌گیری زیست‌توده گیاهی مزارع گندم منتخب، در تاریخ ۲۵ فروردین‌ماه مطابق با الگوی W درون مزارع حرکت کرده و با استفاده از کوادرات 0.5×0.5 مترمربعی نمونه‌های گیاهی کفبر و جمع‌آوری شدند. هم‌چنین موقعیت در آون خشک و توزین گردیدند. هم‌چنین موقعیت جغرافیایی مزارع با استفاده از دستگاه GPS مدل گاردمین لمسی ثبت گردید.

شهرستان در سال ۱۳۹۸-۹۹، معادل ۱۳۰۰۰ هکتار به کشت گندم اختصاص یافت که ۲۵۰۰ هکتار آن گندم آبی و ۱۰۵۰۰ هکتار گندم دیم بود. هم‌چنین عملکرد گندم آبی ۳۹۲۰ و گندم دیم ۲۸۴۰ کیلوگرم در هکتار گزارش شده است. محصولات عمده این شهرستان شامل: گندم، جو، کلزا و پنبه است که از طریق کشت آبی و دیم به دست می‌آید (۲۶).

این پژوهش در سال زراعی ۱۳۹۸-۱۳۹۹ در ۲۹۲ هکتار از اراضی گندم شهرستان معادل ۵۹ مزرعه، انجام شد. این مزارع به صورت تصادفی و با پراکنش یکنواخت در سطح اراضی کشاورزی شهرستان انتخاب شدند (شکل ۱). مجموع بارندگی منطقه در این سال زراعی حدود ۳۰۹ میلی‌متر و میانگین دمای سردترین و گرم‌ترین ماه سال به ترتیب ۴ درجه سانتی‌گراد در بهمن‌ماه ۱۳۹۸ و ۳۰/۵۰ درجه



شکل ۱- موقعیت مزارع گندم نمونه‌برداری شده در اراضی کشاورزی شهرستان بندر ترکمن، استان گلستان.

Fig. 1. The location of sampled wheat fields in the agricultural lands of Bandar-e-Turkmen county, Golestan province.

NDVI بین ۱- که بیانگر سطوح پوشیده از آب و برف و +۱ که نشان‌دهنده مناطق دارای بیشترین پوشش گیاهی است، متفاوت می‌باشد (۲۸). این شاخص‌ها بر اساس روابط زیر برآورد گردید:

$$NDVI = \frac{(NIR-RED)}{(NIR+RED)} \quad (1)$$

$$DVI = IR - R \quad (2)$$

$$RVI = IR/R \quad (3)$$

$$SAVI = \left[\frac{(IR-R)}{(IR+R+L)} \right] \times (1+L) \quad (4)$$

که در آن، IR مادون‌قرمز نزدیک، R قرمز و L ضریب تصحیح برای تراکم‌های مختلف پوشش گیاهی که برابر با $0/5$ (۲۹) است.

تجزیه و تحلیل آماری و انتخاب شاخص برتر: پس از جمع‌آوری داده‌های مزرعه‌ای و محاسبه شاخص‌های گیاهی، تجزیه‌های آماری و رگرسیون با استفاده از نرم‌افزار SPSS و آمارهای ضریب تبیین (R^2)، ضریب تغییرات (CV%) و ضریب همبستگی (r) بر طبق روابط ۵ تا ۸ انجام شد (۲۰) تا شاخص گیاهی برتر جهت محاسبه زیست‌توده انتخاب گردد. در نهایت نقشه شاخص گیاهی برتر از طریق نرم‌افزار ArcGIS تهیه و نمایش داده شد.

$$RMSE = \sqrt{\frac{1}{n} \sum_{i=1}^n (P_i - O_i)^2} \quad (5)$$

$$r = \frac{\sum_{i=1}^n (P_i - \bar{P}) \times (O_i - \bar{O})}{\sqrt{\sum_{i=1}^n (P_i - \bar{P})^2} \sqrt{\sum_{i=1}^n (O_i - \bar{O})^2}} \quad (6)$$

$$CV = \frac{RMSE}{\bar{O}} \times 100 \quad (7)$$

$$R^2 = 1 - \frac{\sum_{i=1}^n (P_i - \hat{P}_L)^2}{\sum_{i=1}^n (P_i - \bar{P})^2} \quad (8)$$

روش تحقیق: در این مطالعه از تصاویر ماهواره ستینل ۲ با درجه پردازش L2A جهت تعیین میزان زیست‌توده گیاهی گندم استفاده شد. این تصاویر از سایت مرکز دسترسی رایگان برنامه کوپرنیکوس^۱ وابسته به سازمان فضایی اروپا اخذ شد. زمان دریافت این تصاویر در محدوده حداقل رشد رویشی گندم انتخاب شد، به‌طوری‌که پوشش ابری وجود نداشت. بر این اساس، تصویر مربوط به تاریخ ۱۳۹۹/۱۳۱ (برابر با ۱۹ آوریل ۲۰۲۰) با سیزده باند طیفی متمایز از سایت <http://scihub.copernicus.eu/> اخذ شد که از این بین دو باند قرمز (B4 با طول‌موج ۶۵۴ نانومتر) و مادون‌قرمز نزدیک (B8 با طول‌موج ۸۴۲ نانومتر) و توان تفکیک ۱۰ متر، جهت محاسبه شاخص‌های گیاهی در محیط نرم‌افزار SNAP^۲ مورداً استفاده قرار گرفتند. تصاویر L2A تصویر قائمی است که تصحیح اتمسفری و رادیومتریکی بر آن انجام‌شده و نیازی به پردازش تصویر ندارد.

شاخص‌های گیاهی: برای محاسبه زیست‌توده گیاهی از شاخص نرمال‌شده اختلاف پوشش گیاهی (NDVI)، شاخص گیاهی تفاضلی (DVI)، نسبت شاخص گیاهی (RVI) و شاخص پوشش گیاهی با اصلاح انعکاس خاک (SAVI) استفاده شدند. شاخص NDVI یکی از روش‌های معمول برای استخراج پوشش گیاهی می‌باشد که به صورت نسبت بین انعکاس اندازه‌گیری شده در باند قرمز^۳ و مادون‌قرمز نزدیک^۴ تعریف می‌گردد. این شاخص به‌دلیل این‌که بیش‌تر تحت تأثیر جذب کلروفیل در پوشش‌های سبز برگ‌دار و تراکم پوشش گیاهی بوده و همچنین در باندهای قرمز و مادون‌قرمز نزدیک، تناقض بین پوشش گیاهی و خاک در بیش‌ترین سطح خود می‌باشد انتخاب گردید (۲۷). مقادیر شاخص

1- The Copernicus Open Access Hub

2- Sentinel Application Platform

3- Visible Red Radiation

4- Near Infrared Reflectance

شاخص‌های پوشش گیاهی و عملکرد نخل روغنی، همبستگی مثبت قوی در سراسر جهان وجود دارد. دوره‌های کاشت در بین شاخص‌های پوشش گیاهی، RVI را دارای بهترین همبستگی با عملکرد نخل روغنی معرفی کرد (۳۰). پاناو و ساخارووا (۲۰۲۲) برای پیش‌بینی عملکرد دانه گیاهان زراعی در منطقه نوواسیبیرسک از داده راداری و شاخص RVI استفاده شد. این شاخص به‌وضوح نشان‌دهنده پویایی توسعه محصولات زراعی مانند گندم بهاره، جو دوسر و جو است. همبستگی و تحلیل رگرسیون رابطه بین شاخص گیاهی RVI و NDVI وجود یک رابطه معنی‌دار بین شاخص‌ها را نشان داد. نتایج محاسبات دقت پیش‌بینی عملکرد دانه را با استفاده از شاخص NRV (نمال شده) ۹۰ درصد برای فصل‌های رشد ۲۰۱۸ و ۲۰۱۹ نشان داد (۳۱).

همچنین در بین شاخص‌های موردنبررسی در این مطالعه، شاخص DVI با برخورداری از ضریب تبیین (۰/۸۳) و ضریب همبستگی (۰/۹۱) کمتر و ضریب تغییرات (۶/۱۵) بیشتر نسبت به شاخص RVI، دومنی شاخص دارای ارتباط قوی با زیستتوده اندازه‌گیری در نظر گرفته شد. در مطالعه ارزیابی ترسیب کربن در شهرستان گرگان با استفاده از سنجش از دور و شاخص‌های گیاهی، شاخص DVI به عنوان شاخص گیاهی برتر شناخته شد (۲۰).

در این روابط، P_i و \bar{P} به ترتیب مقادیر پیش‌بینی شده و میانگین مقادیر پیش‌بینی شده، O_i و \bar{O} معادل مقادیر مشاهده شده و میانگین مقادیر مشاهده شده و n تعداد نمونه‌ها می‌باشند (۲۰، ۲۲).

نتایج و بحث

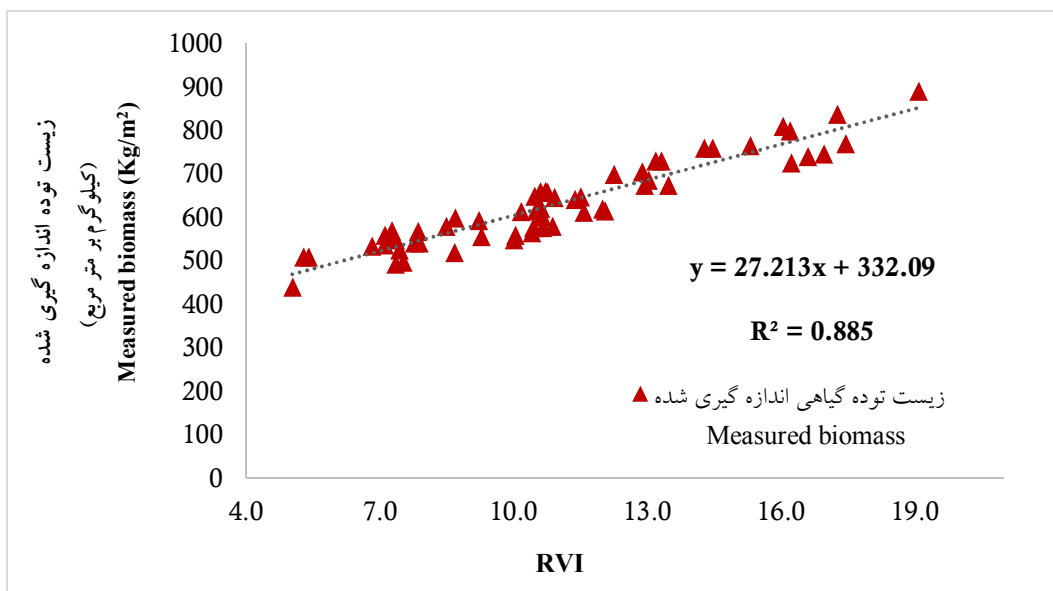
برآورد میزان زیستتوده گیاهی: نتایج مربوط به معادلات رگرسیونی و آماره‌های بین زیستتوده اندازه‌گیری شده و شاخص‌های گیاهی حاصل از تصاویر ماهواره‌ای در جدول ۱ نشان داده شده است. مطابق این جدول شاخص گیاهی RVI به‌دلیل برخورداری از بالاترین میزان ضریب تبیین (۰/۸۸۵) و ضریب همبستگی (۰/۹۴۱) و کمترین مقادیر RMSE (۳۲/۲۱) و ضریب تغییرات (۵/۱) نسبت به سایر شاخص‌های دیگر، به عنوان شاخص گیاهی برتر جهت برقراری رابطه رگرسیونی با میزان زیستتوده گیاهی گندم انتخاب شد. پراکندگی مطلوب نقاط زیستتوده اندازه‌گیری شده در اطراف خط رگرسیون در شکل ۲ ارتباط قوی‌تر زیستتوده گیاهی با شاخص RVI را در مقایسه با سایر شاخص‌ها در شکل‌های ۳ تا ۵ نشان می‌دهد.

در مطالعه‌ای شاخص‌های پوشش گیاهی و داده‌های عملکرد نخل روغنی در مالزی مورد تجزیه و تحلیل قرار گرفته و به دنبال آن مدل‌سازی رگرسیون و اعتبار مدل با استفاده از معیارهای استاندارد انجام شد. نتایج نشان داد که بین

جدول ۱- معادلات رگرسیونی و آماره‌ها بین شاخص‌های گیاهی و زیستتوده اندازه‌گیری شده در مزارع گندم شهرستان بندرترکمن.

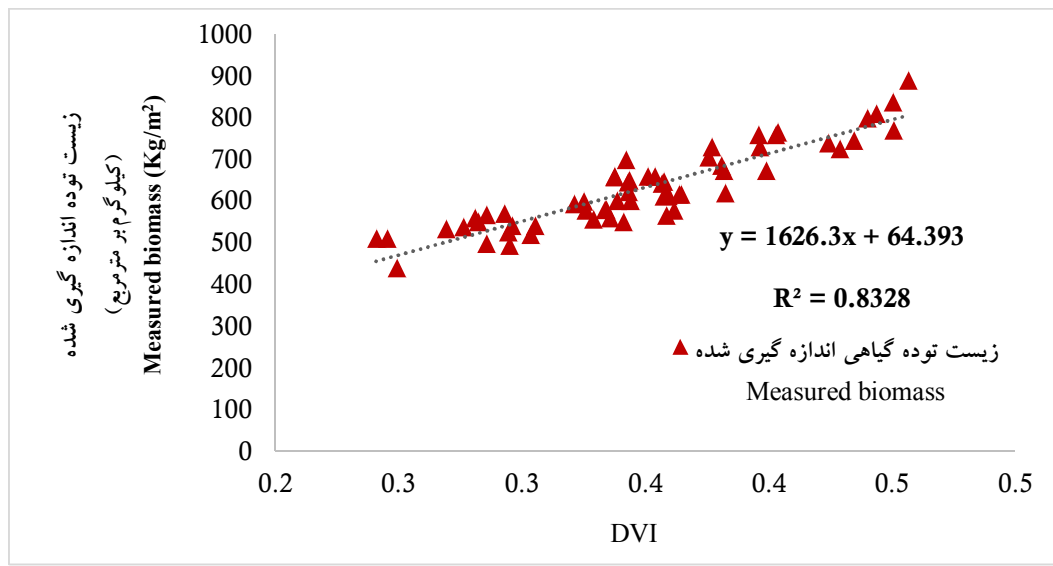
Table 1. Regression equations and statistics between plant indicators and biomass measured in wheat fields of Bandar-e-Turkmen county.

شاخص گیاهی Plant index	معادله Equation	ضریب تعییرات (درصد) (Coefficient of Variation (CV%))	ضریب تبیین (R^2) Coeficient of determination	مجدور میانگین مربعات خطای مجموعی (RMSE) Root Mean Square Error	ضریب تبیین (RMSE) Coeficient of determination	ضریب همبستگی (r) Correlation coefficient
RVI	$Y = 27.213 x + 332.09$	5.1	0.88	32.21		0.94
DVI	$Y = 1626.3 x + 64.393$	6.15	0.83	38.86		0.91
SAVI	$Y = 1347.3 x - 124.02$	6.25	0.82	39.50		0.91
NDVI	$Y = 1418.4 x - 518.24$	7.4	0.75	46.73		0.87



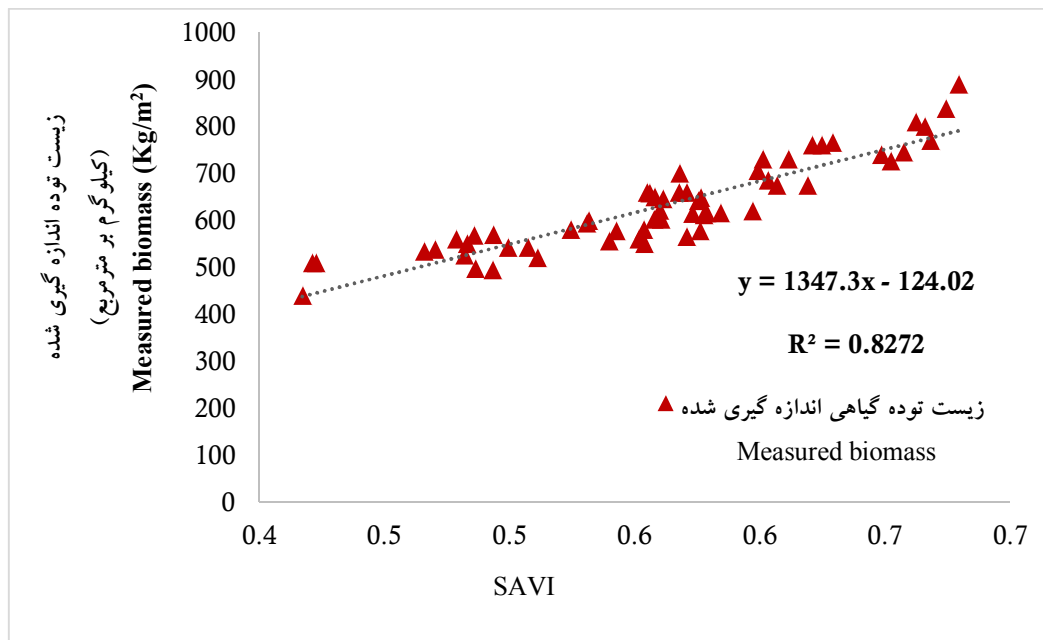
شکل ۲- رابطه رگرسیونی زیست توده اندازه گیری شده گندم و شاخص گیاهی RVI

Fig. 2. The regression relationship between the measured wheat biomass and RVI plant index.



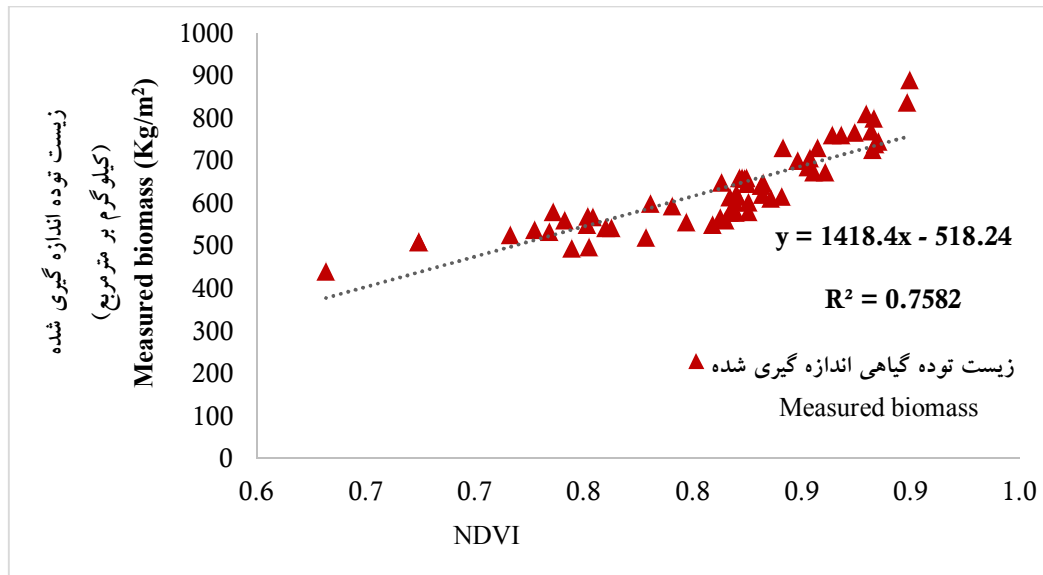
شکل ۳- رابطه رگرسیونی زیست توده اندازه گیری شده گندم و شاخص گیاهی DVI

Fig. 3. The regression relationship between the measured wheat biomass and DVI plant index.



شکل ۴- رابطه رگرسیونی زیست توده اندازه گیری شده گندم و شاخص گیاهی SAVI

Fig. 4. The regression relationship between the measured wheat biomass and SAVI plant index.



شکل ۵- زیست توده اندازه گیری شده گندم و شاخص گیاهی NDVI

Fig. 5. The regression relationship between the measured wheat biomass and NDVI plant index.

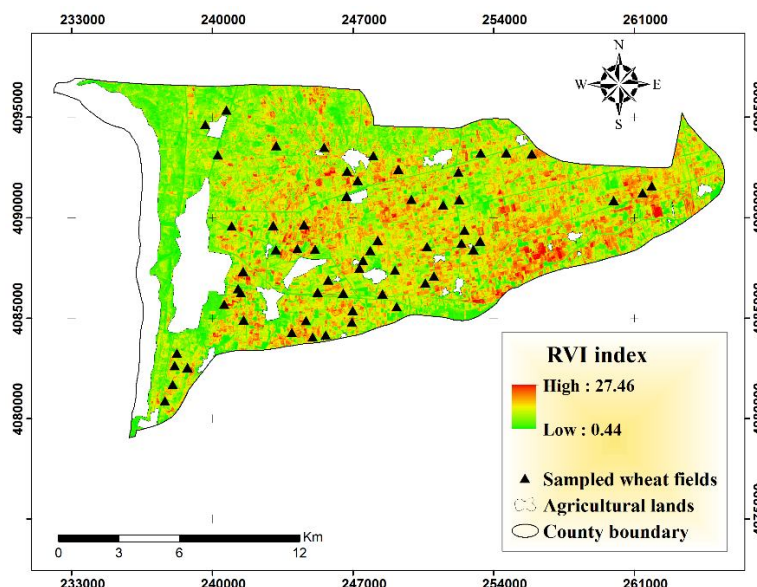
این مناطق می‌تواند دلیلی بر پوشش گیاهی کمتر در این اراضی و درنتیجه مقدار پایین شاخص RVI در این نقاط باشد (۳۲). این نقشه مقادیر بالاتر این شاخص را در مناطق مرکزی، شرق و جنوب شرقی شهرستان نشان داد. مقادیر بالای این شاخص گویای

نقشه شاخص RVI حاصل از تصاویر ماهواره‌ای در شکل ۶ نشان داده شده است. بر اساس این شکل، کمترین میزان این شاخص در اراضی کشاورزی غرب و شمال‌غربی شهرستان برابر با ۰/۴۴ مشاهده شد. شوری زیاد خاک و بالا بودن سطح ایستایی آب در

آن‌ها، می‌تواند در برآورده زیست‌توده در مزارعی با سطوح بزرگ که نمونه‌برداری‌های زمینی در آن نقاط سخت، زمان‌بر و پرهزینه می‌باشد، به راحتی مورد استفاده قرار گیرد. در همین راستا سلطانیان و همکاران (۲۰۲۱) در برآورده زیست‌توده گندم زمستانه از مدل‌های رگرسیون خطی چندگانه، شبکه عصبی مصنوعی و داده‌های سنجش از دور استفاده کردند. در این آزمایش رابطه رگرسیونی زیست‌توده برآورده شده و اندازه‌گیری شده گندم، با ضریب تبیین ۷۸٪ کیفیت مناسب مدل مبتنی بر دورسنجی را نشان داد (۳۴). در ارزیابی عملکرد گندم با استفاده از الگوریتم‌های یادگیری ماشین مبتنی بر سنجش از دور ماهواره‌ای و مدل‌های شبیه‌سازی در ماهاراجکانج و اوخار پراوش هند، راستی آزمایی مبتنی بر مزرعه توسط مراج و همکاران (۲۰۲۲) نشان می‌دهد که عملکرد تخمین زده شده به خوبی با عملکرد مشاهده شده همبستگی دارد و چنین دقیقی می‌تواند یکی از روش‌های امیدوارکننده برای محاسبه عملکرد کشاورزی کل منطقه باشد (۳۵).

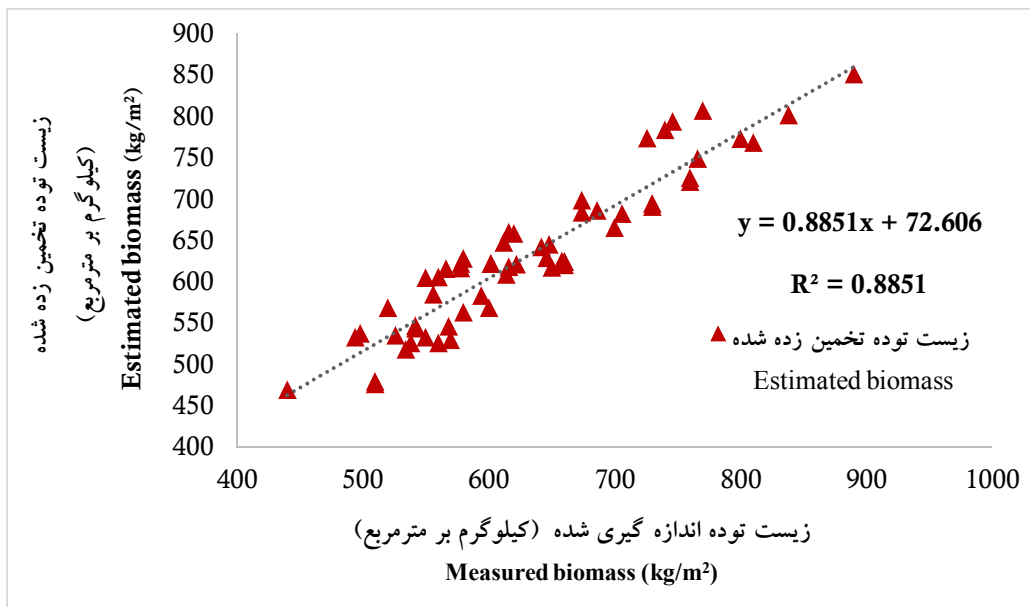
پوشش گیاهی متراکم در این مناطق می‌باشد که می‌توان ناشی از مقادیر بالای درصد کربن و ماده آلی خاک، وفور و توزیع مناسب بارش، مدیریت مطلوب مزرعه، شوری پایین‌تر خاک، تغذیه مناسب خاک و سایر عوامل دیگر برشمرد (۳۲). همچنان که ووارن و همکاران (۲۰۲۱) نشان دادند که شاخص نسبت پوشش گیاهی با زیست‌توده بالا ارتباط بیشتری دارد (۳۳).

در ادامه با استفاده از معادله رگرسیون به دست آمده از شاخص برتر، میزان زیست‌توده تخمین زده توسط تصاویر ماهواره‌ای برای اراضی مورد بررسی، برآورده و محاسبه شد. بررسی ارتباط بین زیست‌توده اندازه‌گیری شده و زیست‌توده تخمین زده شده در شکل ۷ نشان داده شده است. ضریب تبیین ۸۸٪ در این شکل گویای این واقعیت است که متغیرهای مستقل (زیست‌توده اندازه‌گیری شده) تا حد زیادی توانسته تغییرات متغیر وابسته (زیست‌توده تخمین زده شده) را تبیین کند. این نتایج نشان می‌دهد که از تصاویر ماهواره‌ای و شاخص‌های گیاهی حاصل از



شکل ۶- شاخص RVI در کل اراضی کشاورزی شهرستان بندرترکمن، استان گلستان.

Fig. 6. RVI index in all agricultural lands of Bandar-e-Turkmen county, Golestan province.



شکل ۷- میزان زیستتوده اندازه‌گیری شده و تخمین زده شده در مزارع گندم به‌وسیله شاخص RVI.

Fig. 7. Measured and estimated biomass in wheat fields by RVI index.

(۰/۹۴۱) و ضریب همبستگی (۰/۸۸۵) نسبت به سایر شاخص‌های دیگر، به عنوان شاخص گیاهی برتر انتخاب شد. با توجه به نتایج این مطالعه، دقت مناسب برآوردها، سهولت روش‌های مورداستفاده و امکان دسترسی به تصاویر ماهواره‌ای به صورت توالی زمانی و مکانی و همچنین هزینه‌بر بودن و زمان بر بودن کارهای میدانی و آزمایشگاهی که در نهایت به داده‌های گستته از منطقه منجر می‌شود، پیشنهاد می‌گردد برای مطالعه زیستتوده گیاهی و بررسی عملکرد محصولات کشاورزی از روش‌های دورسنجی بهره گرفته شود. جهت یافتن نتایج دقیق‌تر، بهتر است از شاخص‌های گیاهی متنوع و در مراحل مختلف رشدی گیاهان استفاده شود زیرا نتایج مطالعات انجام شده گویای تفاوت شاخص‌های گیاهی برتر در مراحل رشدی گیاهان بوده است. از نتایج این پژوهش می‌توان در برنامه‌ریزی کشاورزی دقیق و مدیریت بهینه کشاورزی مانند پیش‌بینی مراحل رشدی گیاهان، برآورد سطح زیر کشت محصولات، تخمین عملکرد، کمک به افزایش عملکرد واقعی و کاهش خلاء

نتیجه‌گیری

بررسی سلامت پوشش گیاهی مزارع با استفاده از تصاویر ماهواره‌ای و از طریق شاخص‌های گیاهی، نشان داد که ارزیابی انواع شاخص‌های گیاهی می‌تواند شاخص گیاهی برتری را معرفی نمود که بیشترین همبستگی را با زیستتوده اندازه‌گیری شده از مزارع داشته باشد و از این طریق بتوان میزان زیستتوده را در منطقه وسیعی با صرف کمترین وقت و هزینه تخمین و برآورد کرد. این زیستتوده تخمین زده شده می‌تواند تا حدود زیادی در بررسی سلامت پوشش گیاهی نقاط مورد بررسی کمک نماید. به این صورت که نقاطی با شرایط بهینه محیطی، خاک و مدیریت می‌توانند مقادیر زیستتوده بالایی را تولید نمایند و بنابراین مزارع با شاخص گیاهی بالاتر را می‌توان به عنوان نقاط سالم‌تر معرفی نمود. همچنین با استفاده از فناوری سنجش از دور می‌توان روند رشد گیاهان را بررسی نموده و با رفع به موقع تنش‌ها باعث افزایش عملکرد شد. در این آزمایش شاخص گیاهی RVI بهدلیل برخورداری از بالاترین میزان ضریب تبیین

دقت بالایی مورد تأیید قرار گیرد. با مشخص شدن نواحی با محدودیت‌های زراعی و بازدهی کم در مزرعه، بهمنظور مدیریت و اصلاح شرایط محدودکننده رشد، این اطلاعات می‌تواند در اختیار ناظران، کارشناسان و کشاورزان قرار گرفته و متناسب با تجربیات و دانش آن‌ها، مدیریت مزرعه با صرف هزینه و نیروی انسانی کم‌تر، جهت افزایش محصول تغییر یابد.

عملکرد محصولات و همچنین وضعیت سلامت گیاهان زراعی استفاده کرد. بی‌شک نهادینه کردن این روش‌ها در مقیاس‌های کلان کمک شایانی به برنامه‌ریزان برای تنظیم بازار و واردات احتمالی محصولات می‌کند. از دیگر قابلیت‌های استفاده از این شاخص‌ها، شناسایی نقاطی با محدودیت‌های رشد یا نقاطی با عملکرد پایین به دلایل مختلف محیطی و یا مدیریتی است که با بررسی‌های زمینی می‌تواند با

منابع

- Baret, F., Guyot, G., & Major, D. J. (1989). TSAVI: a vegetation index which minimizes soil brightness effects on LAI and APAR estimation. Pp: 1355-1358, The *International Geoscience and Remote Sensing Symposium (IGARSS)*. Canada.
- Cho, M. A. (2007). Hyper-spectral remote sensing of biochemical and biophysical parameters: the derivate red-edge" double-peak feature", a nuisance or an opportunity? PhD Thesis, Wageningen University, the Netherlands, 241p.
- Coppin, P., Jonckheere, I., Nackaerts, K., & Muys, B. (2004). Digital change detection methods in ecosystem monitoring: a review. *International journal of remote sensing*. 25 (9), 1565-1596. DOI:10.1080/0143116031000101675.
- Lillesand, T., Kiefer, R. W., & Chipman, J. (2014). Remote sensing and image interpretation. John Wiley and Sons. 167p.
- Rondeaux, G., Steven, M., & Baret, F. (1996). Optimization of soil- adjusted vegetation indices. *Remote Sensing of Environment*. 55 (2), 95-107. DOI:10.1016/0034-4257(95)00186-7.
- Pordel, F., Ebrahimi, A., & Azizi, Z. (2018). Modeling of green canopy cover of marjan rangelands, Boroujen during growing season using spectral indices of OLI sensor. *Journal of Geomatics Science and Technology*. 7 (4), 191-203. [In Persian with English abstract]
- Chao, ZH., Liu, N., Zhang, P., Ying, T., & Song, K. (2019). Estimation methods developing with remote sensing information for energy biomass: A comparative review. *Biomass Bioenergy*. 122, 414-425.
- Zheng, G., Chen, J., & Tian, Q. (2007). Combining remote sensing imagery and forest age inventory. *Journal of Environmental Management*. 85 (3), 616-623. DOI: 10.1016/j.jenvman.2006.07.015.
- Akbari, M., Karim Zadeh, H. R., Modares, R., & Chakoshi, B. (2007). Assessment and classification of desertification using RS & GIS techniques (case study: the arid region, in the north of Isfahan). *Iranian Journal of Range and Desert Research*, 14 (2), 124-142. [In Persian with English abstract]
- Bannari, A., Morin, D., Bonn, F., & Huete, A. R. (1995). A review of vegetation indices. *Remote Sensing Reviews*. 13 (1), 95-120. DOI:10.1080/02757259509532298.
- Bao, Y., Gao, W., & Gao, Z. (2009). Estimation of winter wheat biomass based on remote sensing data at various spatial and spectral resolutions. *Frontiers of Earth Science in China*. 3 (1), 118-128. DOI:10.1007/s11707-009-0012-x.
- Baret, F., & Guyot, G. (1991). Potentials and limits of vegetation indices for LAI and APAR assessment. *Remote Sensing of Environment*. 35 (2-3), 161-173. doi.org/10.1016/0034-4257(91)90009-U.

13. Battude, M., Al Bitar, A., Brut, A., Tallec, T., Huc, M., Cros, J., & Demarez, V. (2017). Modeling water needs and total irrigation depths of maize crop in the south west of France using high spatial and temporal resolution satellite imagery. *Agricultural Water Management*. 189, 123-136. **DOI: 10.1016/j.agwat.2017.04.018.**
14. Elvidge, C. D., & Chen, Z. (1995). Comparison of broad-band and narrowband red and near-infrared vegetation indices. *Remote Sensing of Environment*. 54 (1), 38-48. [doi.org/10.1016/0034-4257\(95\)00132-K](https://doi.org/10.1016/0034-4257(95)00132-K).
15. Lefsky, M. A., & Cohen, W. B. (2003). Selection of remotely sensed data. P 13–46, In M. A. Wulder and S. E. Franklin (eds.), *Remote Sensing of Forest Environments: Concepts and Case studies*. Kluwer Academic Publishers, Boston. USA.
16. Farazmand, M., Jafari, R., & Ramezani, N. (2014). Comparison the performance of vegetation indices and spectral mixture analysis for mapping rangeland vegetation cover. *Iranian Journal of Remote Sensing & GIS*. 5 (4), 105-120. [In Persian with English abstract]
17. Zhang, H., Chen, H., & Zhou, G. (2012). The model of wheat yield forecast based on MODIS-NDVI: a case study of Xinxiang. P12, In Proceedings of the ISPRS Annals of the Photogrammetry, Remote Sensing and Spatial Information Sciences Congress. **DOI:10.5194/isprs-annals-I-7-25-2012.**
18. Mohammadi Ahmad Mahmoud, E., Kamkar, B., & Abdi, O. (2015). Comparison of geostatistical- and remote sensing data-based methods in wheat yield predication in some of growing stages (A case study: Nemoooneh filed, Golestan province). *Journal of Crop Production*. 8 (2), 51-76. [In Persian with English abstract]
19. Allbed, A., Kumar, L., & Aldakheel, Y. (2014). Assessing soil salinity using soil salinity and vegetation indices derived from IKONOS highspatial resolution imageries: Applications in a date plam dominated region. *Geoderma*. 230-231, 1-8. **DOI: 10.1016/j.geoderma.2014.03.025.**
20. Bakhshandeh, S., Kazemi, H., Soltani, A., & Kamkar, B. (2022). Estimation of carbon sequestration potential in soybean farms using remote sensing plant indices (Case study of Gorgan County, Golestan province). *ournal of Plant Production Research*. 29 (1), 19-37. **DOI: 10.22069/JOPP.2022.18657.2752.**
21. Toscano, P., Castrignanò, A., Di Gennaro, S. F., Vonella, A. V., Ventrella, D., & Matese, A. (2019). A precision agriculture approach for durum wheat yield assessment using remote sensing data and yield mapping. *Agronomy*. 9 (8), 437. doi.org/10.3390/agronomy9080437.
22. Xu, Ch., Ding, Y., Zheng, X., Wang, Y., Zhang, R., Zhang, H., Dai, Z., & Xie, Q. (2022). A comprehensive comparison of machine learning and feature selection methods for Maize biomass estimation using Sentinel-1 SAR, Sentinel-2 vegetation indices, and biophysical variables. *Remote Sensing*. 14 (16), 4083. doi.org/10.3390/rs14164083.
23. Onisimo, M., Timothy, D., & Omer, G. (2017). Remote sensing of crop health for food security in Africa: potentials and constraints. *Remote Sensing Applications: Society and Environment*. 8, 231-239. **DOI: 10.1016/j.rsase.2017.10.004.**
24. Bao, Zh., Shifaw, E., Deng, Ch., Sha, J., Li, X., Hanchiso, T., & Yang, W. (2022). Remote sensing-based assessment of ecosystem health by optimizing vigor-organization-resilience model: A case study in Fuzhou City, China. *Ecological Informatics*. 72, 101889. **DOI: 10.1016/j.ecoinf.2022.101889.**
25. Hunt, M. L., Blackburn, G. A., Carrasco, L., Redhead, J. W., & Rowland, C. S. (2019). High resolution wheat yield mapping using sentinel-2. *Remote Sensing of Environment*. 233, 111410. **DOI: 10.1016/j.rse.2019.111410.**

26. Management of agricultural Jihad of Bandar-e-Turkmen city. (2019). Horticulture and agricultural products. www.ajgol.ir/fa.
27. Cai, G., Du, M., & Liu, Y. (2011). Regional drought monitoring and analyzing using MODIS data - A case study in Yunnan province. In, Berlin, Heidelberg, Computer and Computing Technologies in Agriculture IV. Springer Berlin Heidelberg. 345, 243-251. **DOI:10.1007/978-3-642-18336-2_29.**
28. Gillespie, T. W., Ostermann-Kelm, S., Dong, C., Willis, K. S., Okin, G. S., & MacDonald, G. M. (2018). Monitoring changes of NDVI in protected areas of southern California. *Ecological Indicators*. 88, 485-494. **DOI: 10.1016/j.ecolind.2018.01.031.**
29. Huete, A. R. (1988). A soil-adjusted vegetation index (SAVI). *Remote Sensing of Environment*. 25, 295-309. **Doi: 10.1016/0034-4257(88)90106-X.**
30. Balasundram, S. K., Memarian, H., & Khosla, R. (2013). Estimating oil palm yields using vegetation indices derived from quickbird. *Life Science Journal*. 10 (4), 851-860. <http://www.lifesciencesite.com>. **109.**
31. Panov, D. Yu., & Sakharova, E. Yu. (2022). Using radar data for grain crops yield forecasting in the Novosibirsk region. *Russian Meteorology and Hydrology*. 47, 473-478. **DOI:10.3390/pr11030647.**
32. Niazmoradi, M., Kazemi, H., Gherekhloo, J., Soltani, A., & Kamkar, B. (2022). Health assessment of wheat agroecosystems (Case of study: Bandar-e-Torkeman county, Golestan province). PhD thesis in Agronomy, Gorgan University of Agricultural Sciences and Natural Resources. 155 p. [In Persian with English abstract]
33. Vuorinen, I., Heiskanen, J., & Pellikka, P.K.E. (2021). Assessing leaf biomass of Agave sisalana using sentinel-2 vegetation indices. *Remote Sensing*. 13 (2), 233. **DOI: 10.3390/rs13020233.**
34. Soltanian, M., Naderi khorasgani, M., & Tadayyon, A. (2021). Estimation of above-ground biomass of winter wheat (*Triticum aestivum* L.) using multiple linear regression, artificial neural network models remote sensing data. *Journal of Crop Production*. 13 (3), 179-196. **DIO: 10.22069/EJCP.2021.18102.2343.** [In Persian with English abstract]
35. Meraj, G., Kanga, S., Ambadkar, A., Kumar, P., Kumar Singh, S., Farooq, M., Alan Johnson, B., Rai, A., & Sahu, N. (2022). Assessing the yield of wheat using satellite remote sensing-based machine learning algorithms and simulation modeling. *Remote Sensing*. 14, 3005. **DOI: 10.3390/rs14133005.**